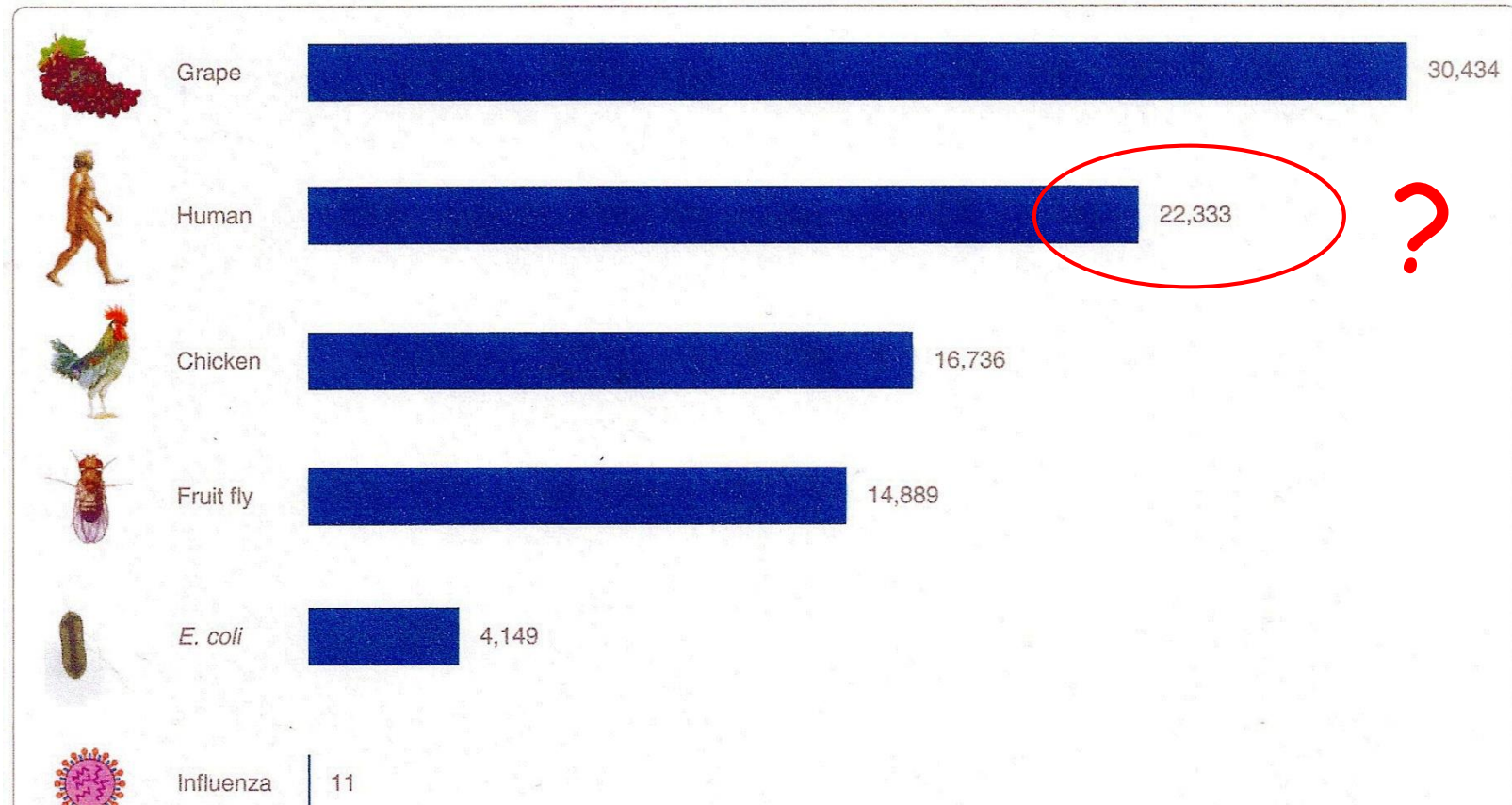


# Genomika

Hogyan változtak az elképzélések a genom tartalmáról, a szerveződési komplexitás és génszám közti összefüggésről?

# Humán genom: .... valahol a csirke és a szőlő között?"



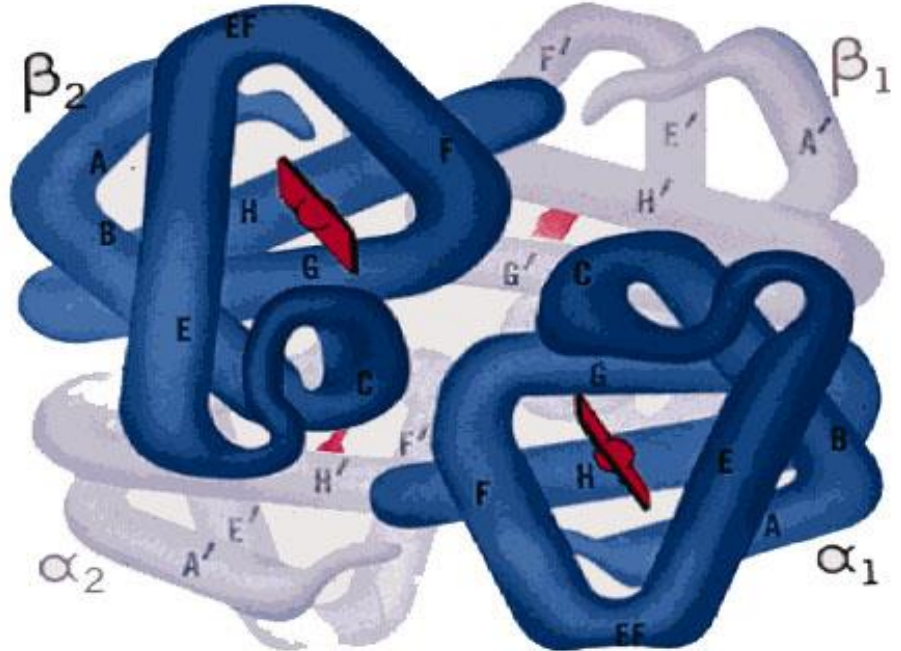
**Figure 1. Gene counts in a variety of species.** Viruses, the simplest living entities, have only a handful of genes but are exquisitely well adapted to their environments. Bacteria such as *Escherichia coli* have a few thousand genes, and multicellular plants and animals have two to ten times more. Beyond these simple divisions, the number of genes in a species bears little relation to its size or to intuitive measures of complexity. The chicken and grape gene counts shown here are based on draft genomes [50,51] and may be revised substantially in the future.

(Pertea & Salzberg, *Genome Biology* 2010, 11:206)

# Első becslések a genom méretéről és a gének számáról

1964: F. Vogel (Heidelberg)

- Hemoglobin a és  $\beta$  lánc
- leegyszerűsített feltevések
- Haploid genom:  $3 \times 10^9$  bp
- Gének száma: 6,7 millió !



1990: NIH/DOE report on Human Genome Project

- becslés: 100 000 gén, az átlagos gén méret (30 000 bp) alapján

2001, Human Genome Project: csökkenő génszám, növekvő bizonytalanság

# A génfogalom fejlődése: mit nevezünk ma egy génnek?

A Gén fogalmának jelentős átalakulása az elmúlt száz esztendőben:  
protein/RNS kódolás, intron/exon fogalom, szabályozó funkciók, stb.

- Gén
- 1950-es évektől
  - a kódolási szabályok felismerése
  - „a DNS azon szakasza, amely egy transzkriptum átírásáért felelős genetikai információt tartalmazza” (mRNS, rRNS, snRNS, tRNS, ...)

- ORF
- *open reading frame* (nyitott leolvasási keret)
  - gének annotálása: bioinformatikai módszerekkel predikció (konzervált szekvencia motívumok alapján)

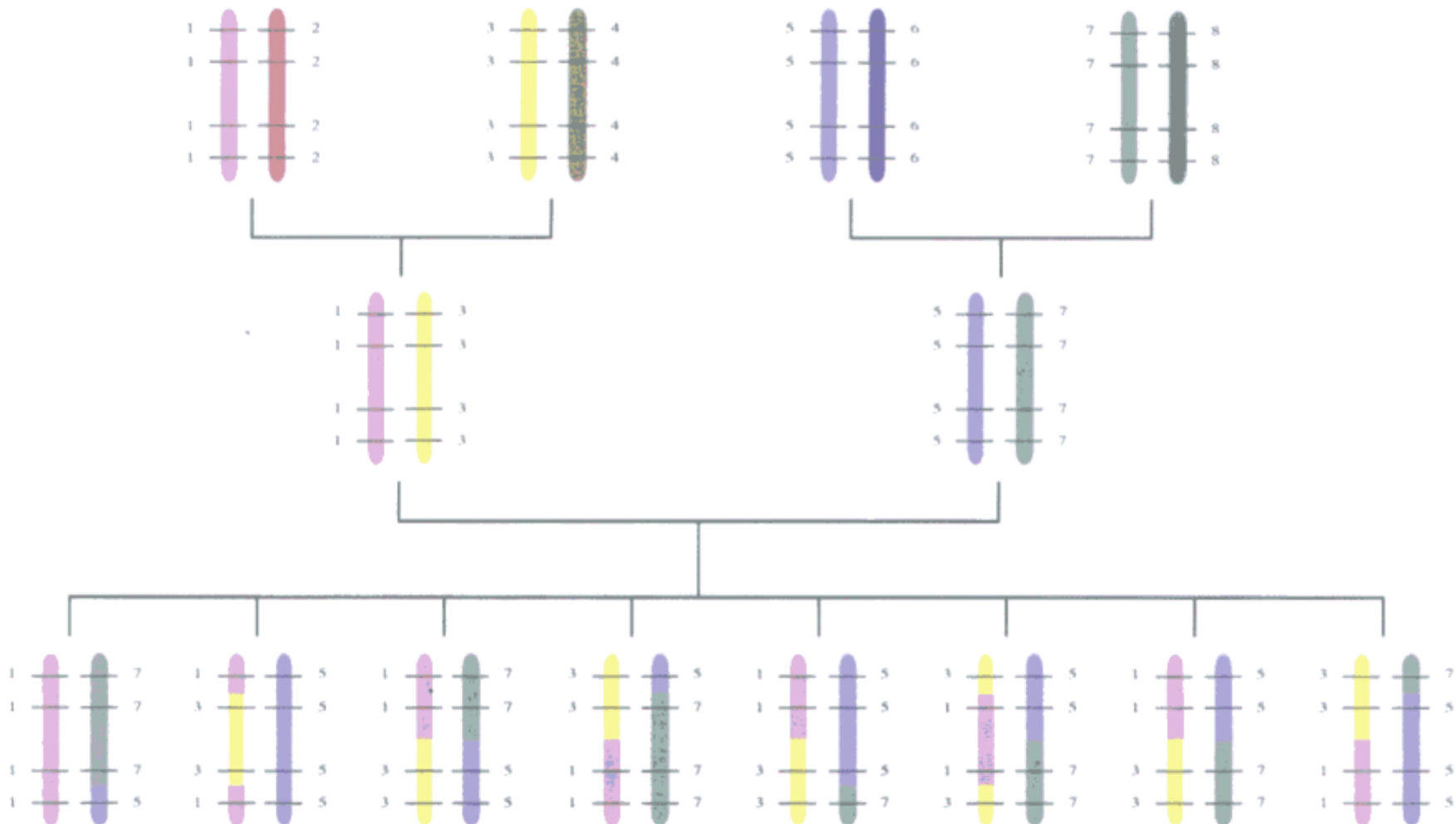
„Egy gén a genetikai állományunk jól körülhatárolt szakasza, mely mRNS-ként átíródik és egy v. több fehérjét kódol.” (pl. alternatív splicing: izoformák)

És a nem protein kódoló RNA gének (pl. IncRNAs, miRNAs, snRNAs, piwiRNA)?

# Human Genom Project (HUGO)

- Első kezdeményezés: 1980-as évek eleje
- orvosbiológiai megközelítés, infrastruktúrális beruházások
- Folyamatban lévő genom szekvenálási projektek
- λ-fág, SV40, humán mitokondriális genom
- Genetikai és fizikai térképezések
- Botstein et al., 1980; Coulson et al., 1986;
- DNS-szekvenálási technológia és bioinformatika
- shotgun sequencing, automated sequencing, ESTs, STSs,
- NRC Report 1988, US DOE, NIH,
- genetikai és fizikai térkép, parallel projektek modell organizmusokon, technológiai fejlesztések, bioetika

# Meiotic Breaks – Genetic Linkage Maps



## Universal Landmark

### Sequence Tagged Site (STS) 1989

Replaces cloned DNA probe mapping landmarks with PCR assays.

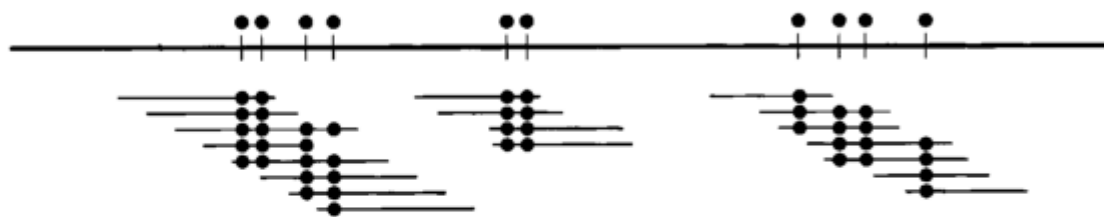
Each STS is uniquely described by a pair of oligonucleotides, a product size, and PCR reaction conditions. Can be stored and distributed electronically.

Enables merging of mapping data obtained from many labs using many different methods into a single consensus map of landmarks along a chromosome.

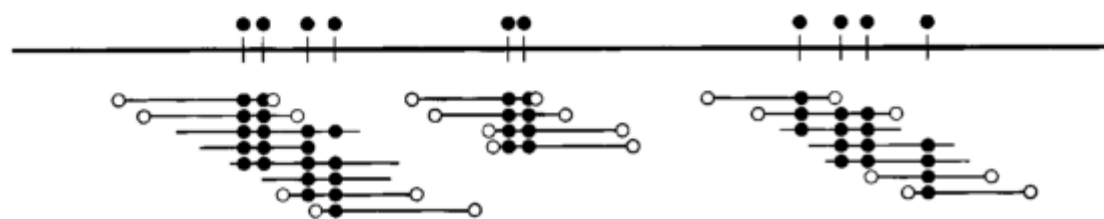
Eliminates the need for huge collections of cloned probe segments upon which prior maps depended.

## Clone ends – Clone-based Physical Map

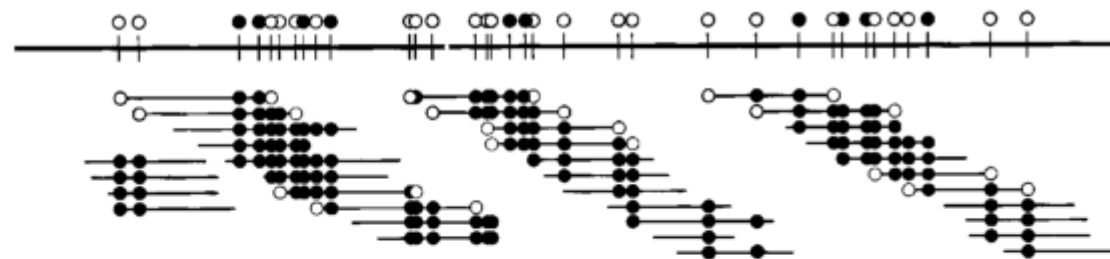
a. Screen library with existing markers



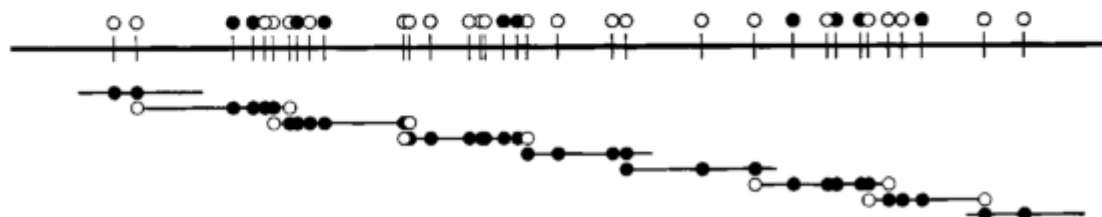
b. Generate new markers



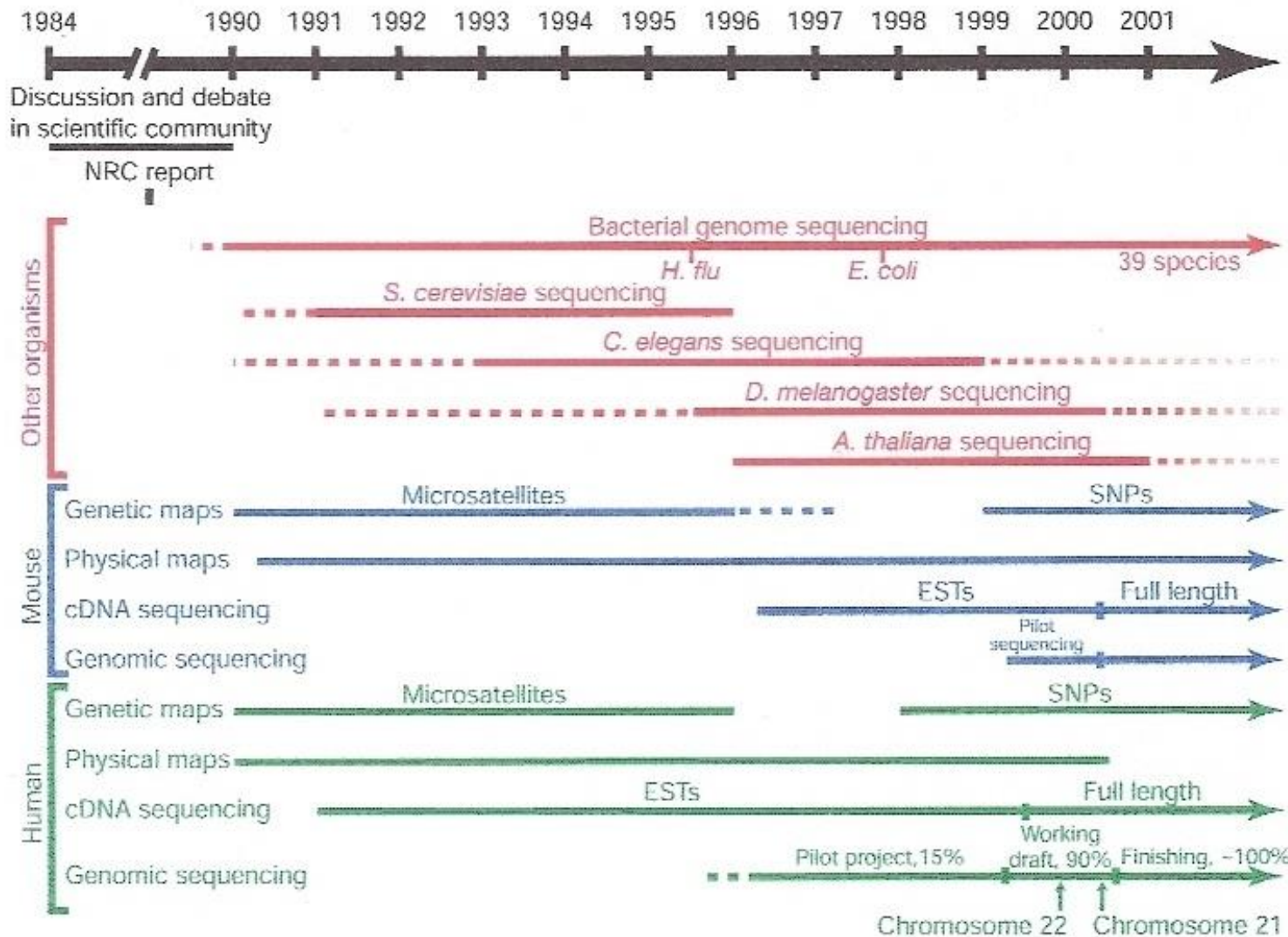
c. Screen library with new markers



d. Determine tiling path



# Genom projektek időskálán - a „hőskor”



# Humán Genom Projekt

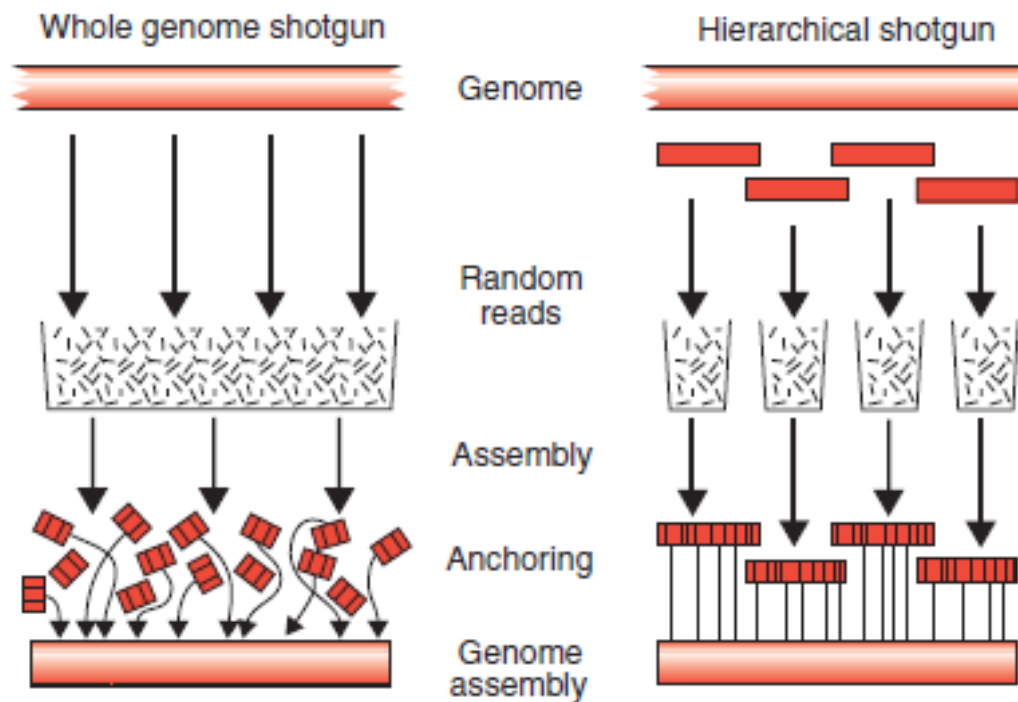
## - résztvevők és módszerek

- HUGO: Human Genome Organization
- US DOE és NIH, UK MRC és WTSI, CEPH , FMDA, Japán, Európai Közösség (élesztő genom), Németország, Kína
- 1990-1995: genetikai és fizikai térképezés
- betegség gének, fizikai pontok fixálása, modell szervezetek
- large-scale sequencing: két fázisú „shotgun” szekvenálás
- 2001: draft genom szekvencia, 2003: teljes genom szekvencia
- Celera Genomics:
  - Applied Biosystems., TIGR (C. Venter)
  - 1998-2001: „whole genome shotgun”
  - ABI PRISM 3700 DNA Analyzer



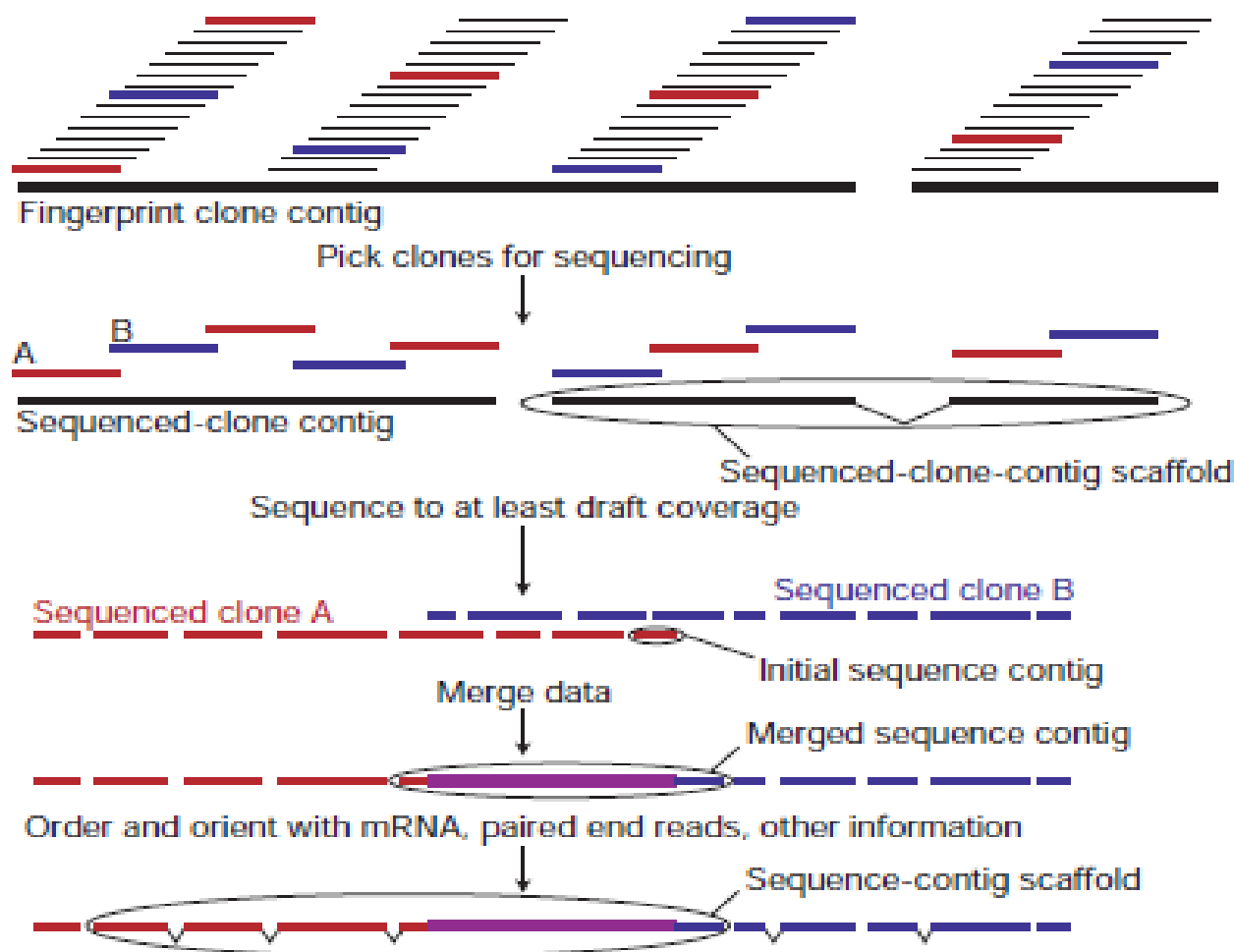
Technology speeds science. ABI sequencers at Venter Institute, 2007.

# „shotgun” genom szekvenálási stratégiák



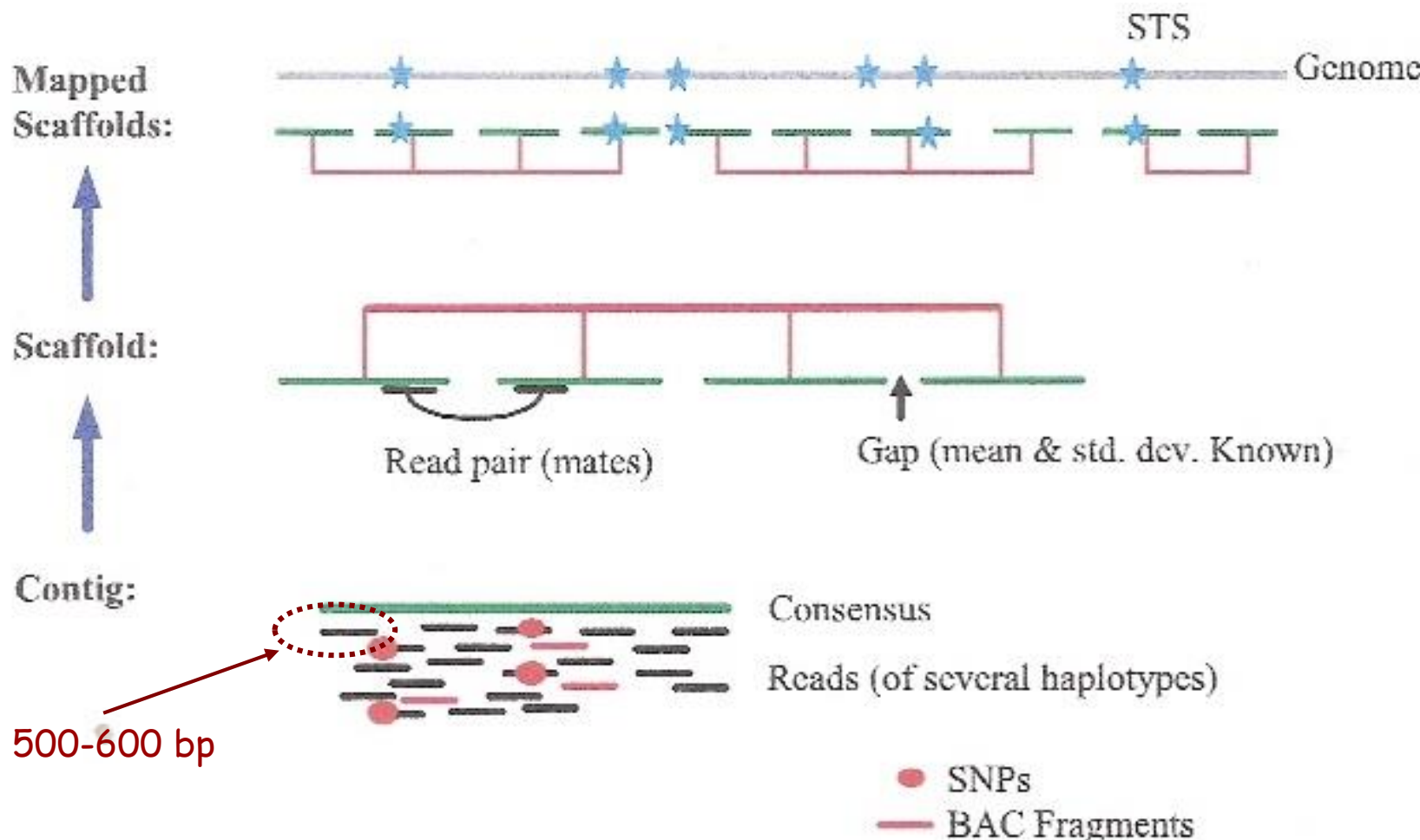
**Figure 9.11.** Assembling genomic data using the hierarchical and whole genome shotgun approaches. Adapted from Waterston, Lander and Sulston (2002), with permission

# Genom szekvenciaváz összeállítása



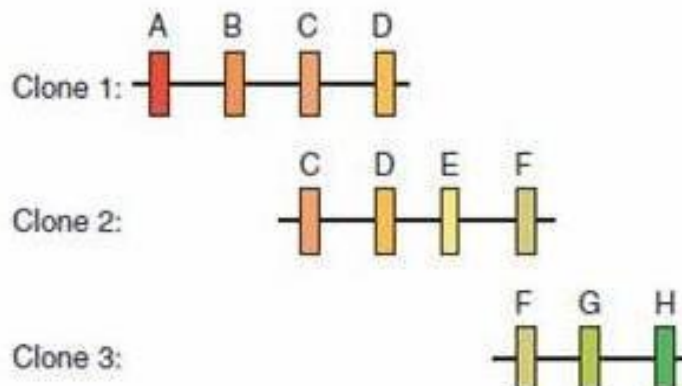
International Human Genome Sequencing Consortium: Initial sequencing and analysis of the human genome,  
Nature 409, 860 (2001)

# Teljes genom összeszerelés

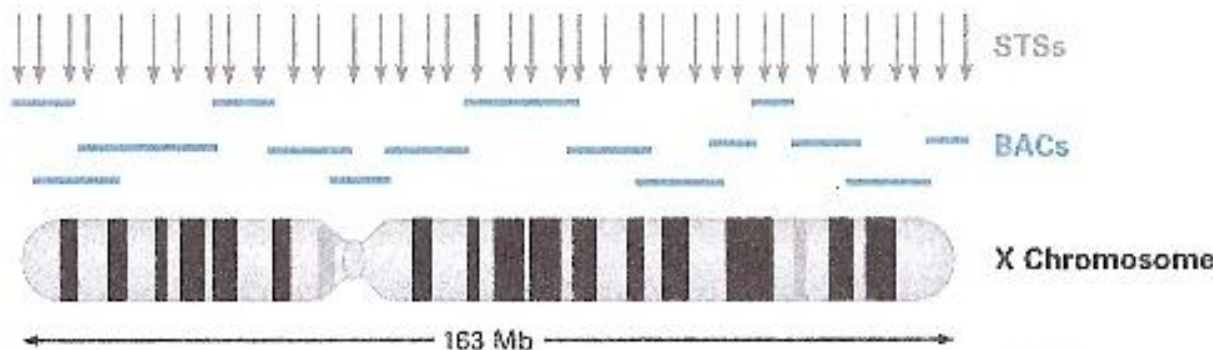


**Fig. 3.** Anatomy of whole-genome assembly. Overlapping shredded bactig fragments (red lines) and internally derived reads from five different individuals (black lines) are combined to produce a contig and a consensus sequence (green line). Contigs are connected into scaffolds (red) by using mate pair information. Scaffolds are then mapped to the genome (gray line) with STS (blue star) physical map information.

# STS genom térképezés



**Figure 9.5.** Aligning clones by STS mapping. Each clone contains several STSs. Clone 1 has four (A, B, C and D). Clone 2 also contains STSs C and D. Therefore clones 1 and 2 overlap with each other



**FIGURE 1.3** Relationships of chromosomes to genome sequencing markers. The X chromosome is about 163 Mb in length. In this diagram, there are 16 overlapping BAC clones that span the entire length. In reality, 1,408 BACs were needed to span the X chromosome. Arrows (top) mark STSs scattered throughout the chromosome and on overlapping BACs.

# Humán Genom Projekt

# Science

16 February 2001

Vol. 291 No. 5507  
Pages 1145-1434 \$9

## THE HUMAN GENOME



AMERICAN ASSOCIATION FOR THE ADVANCEMENT OF SCIENCE

15 February 2001

# nature

£5.45 US \$21.75 £64 DM 16 CHF 18.00

[www.nature.com](http://www.nature.com)

## the **human** genome

**Nuclear fission**

Five-dimensional energy landscapes

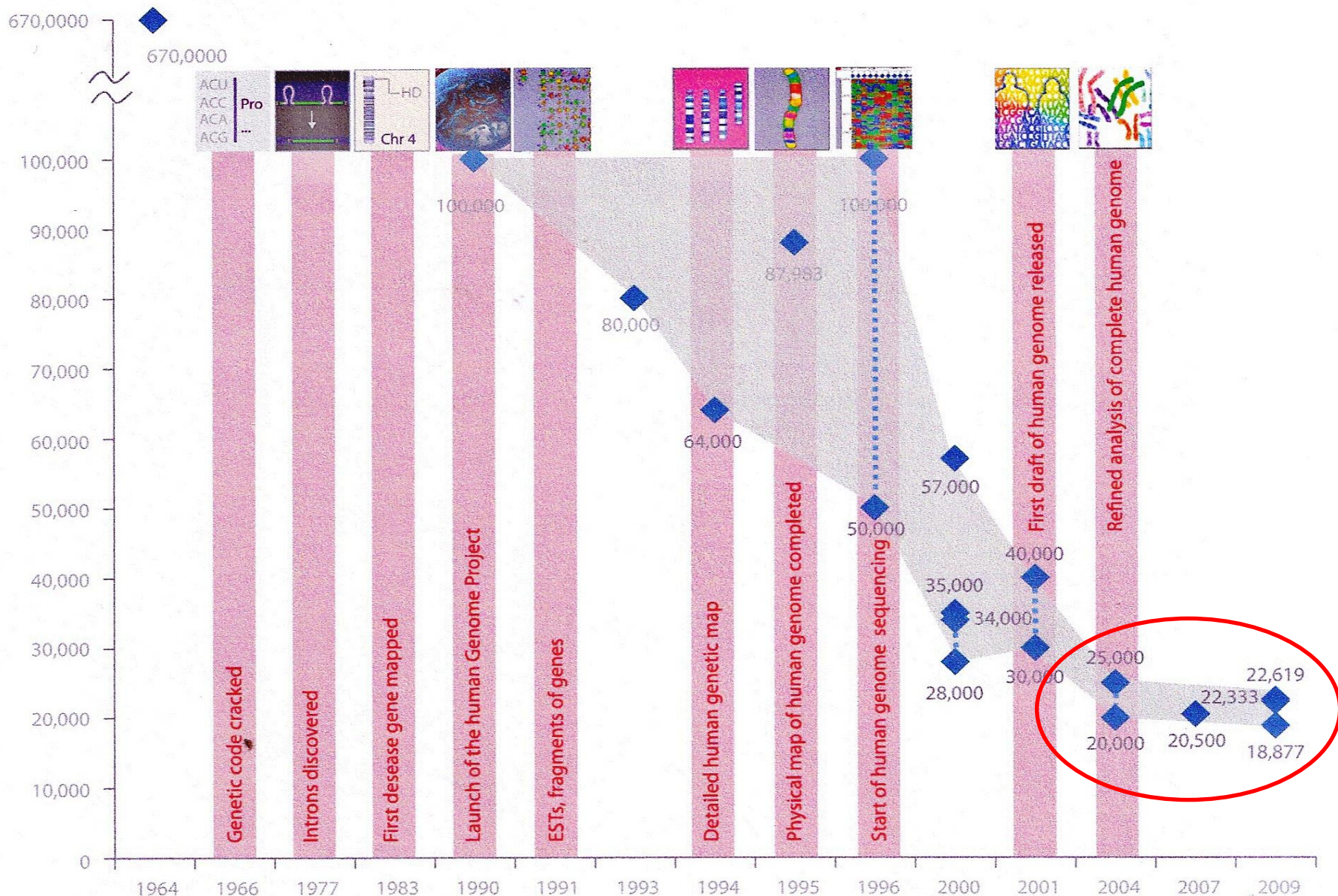
**Seafloor spreading**

The view from under the Arctic ice

**Career prospects**

Sequence creates new opportunities

**naturejobs**  
genomics special



**Figure 2. The trend of human gene number counts together with human genome-related milestones.** Individual estimates of the human gene count are shown as blue diamonds. The range of estimates at different times is shown by the two vertical blue dotted lines. Note how this range has narrowed in recent years.

# Hol tartunk most?

- 2001, Human Genome Consortium: 30 000 - 40 000 protein kódoló gén  
Celera Consortium: 26 500 „erős” + 12 000 „gyenge” bizonyíték
- 2004, Human Genome Consortium: 20 000 - 25 000 gén  
- kevesebb mint az *Arabidopsis* → szervezeti komplexitás?
- 2010, Ensembl: 22 619 / NCBI: 22 333 protein kódoló gén  
CCDS: 18 173 (<http://www.ncbi.nlm.nih.gov/CCDS/CcdsBrowse.cgi>)  
fals pozitívak: retrotranspozonok, pszeudogének, „orphan” DNS
- 2019.09.08.: CCDS GeneID: 19 029 genes > 1 CCDS ID: 7 869

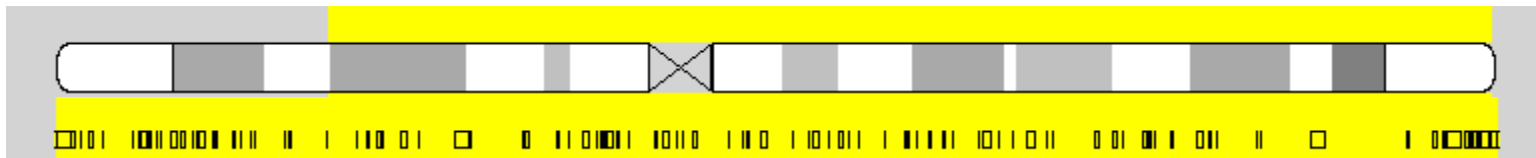
# Copy Number Variation (CNV)

## Kópia-szám variabilitás

A diploid szervezetek alapesetben minden génből két másolatot hordoznak (homológ párok). Az emberi genom vizsgálata során felismerték, hogy hosszú (ált. több Kb vagy Mb) DNS szakaszok előfordulhatnak kettőnél több példányban is. Ezeket copy-number variation (CNV)-nak nevezték el. Az egyes egyének között a CNV mintázat különböző lehet.

Kb. 300 emberen végzett vizsgálatban 1447 CNV-t mutató genomikus szakaszt azonosítottak, ez kb. a genom 12%-át fedi le.

Sikerült néhány CNV-t betegségekkel kapcsolatba hozni. Pl. a prosztata rák betegség az UGT2B17 gén kópia szám változataival hozták kapcsolatba. Vagy a HIV fertőzéssel szembeni ellenálló képesség a CCL3L1 gén több mint két példányával kapcsolatos.



Az ember 20. kromoszómáján kimutatott CNV-k helyzete és kiterjedése

# Új gének és gén átrendeződések

- CGH analízisek: rokon fajok között kb. azonos génszám
- *de novo* gén keletkezés: génduplikáció és specializáció
- génszám eltérések egyének között: segmental duplications
- **large-scale copy number polymorphisms (CNVs)**
- emberi „pánogenom”: változatok rasszok, csoportok között.  
(Li R, et al., 2010, Nat Biotechnol, 28:57-63)
- kb. 40 Mb új szekvencia, + 1,3 %
- ***de novo* eredet: új humán gének?** (Knowles and McLysaght, 2009)

# Emerging novel gene sequences

**Table 1.** Novel human protein-coding genes and supporting evidence.

Gene name	Ensembl ID	Length (codons)	Longest chimp ORF <sup>a</sup>	Expression support and tissue <sup>b</sup>	Primate shared disablers <sup>c</sup>	Other major sequence differences	Presence of enabler in other human complete genome sequences <sup>d</sup>	HapMap SNPs
CLLU1	ENSG00000205056	121	42	EST/cDNA: Blood ( <u>AJ845165</u> , <u>AJ845166</u> ); UniGene: Blood, embryonic tissue, eye, lymph, lymph node, muscle, pharynx, tonsil (Hs.339918)	1-bp indel <sup>e</sup>	Macaque: 4- and 1-bp indels	Sequence available and enabler conserved in all	1 syn.; 1 nonsyn.
C22orf45	ENSG00000178803	159	87 (25 amino acids align with human sequence)	EST/cDNA: Kidney, other (AX747284, AK091970, DA635985); ArrayExpress: Sperm, lung (E-GEOID-6872, E-GEOID-3020)	Premature stop codon	Chimp: 1-bp indel; Macaque: lacks ATG start codon; 4-bp indel	Reverse strand is available and conserved in Venter	1 nonsyn.
DNAH100S	ENSG00000204626	163	90 (75 amino acids align with human sequence)	EST/cDNA: Hippocampus ( <u>AK127211</u> ); UniGene: Blood, embryonic tissue, eye, lymph, lymph node, muscle, pharynx, tonsil (Hs.339918)	10-bp indel	Chimp: 2- and 1-bp indels; Macaque: lacks ATG start codon; 13-, 8-, 1-, and 1-bp indels	Reverse strand is available and conserved in Venter, Watson and HuAA	1 syn.; 1 nonsyn.

<sup>a</sup>Length in codons of longest in-frame (alignable) ORF starting from any ATG in the region.

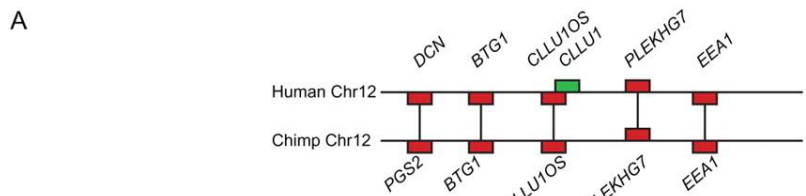
<sup>b</sup>Type of data/database is listed followed by tissue information with database identifiers in parentheses. Underlined accession numbers are full-length, spliced cDNA.

<sup>c</sup>Shared disablers are sequence differences shared by chimp, gorilla, orangutan, gibbon, and macaque that eliminate the capacity to produce a protein similar to the human protein.

<sup>d</sup>Independently sequenced whole genomes: Venter, Watson, HuAA, HuBB, HuCC, HuDD, and HuFF. All data are listed where available.

<sup>e</sup>Not shared with orangutan.

# Sequence changes in the origin of CLLU1 from noncoding DNA. (A) Region of conserved synteny between human and chimp chromosomes 12.



B

	Start
Human	GT <sub>5</sub> TGAGG - - ATGTTCAACAAATGCTCCTTCATTCTCTATTACAGACCTGCCGCA
Chimpanzee	GT <sub>5</sub> TGAGG - - ATGTTCAATAATGCTGCTTCACTCCTCTATTACAGACCTGCCGCA
Macaque	GT <sub>5</sub> TGAGG - - ATGCTCAATAATGCTCCCTTCATTCCCTCCTATTACAACATTGCCGCA
Human	GACAATTCTGCTAGCAGCCTTGTGCTATTATCTGTTTCTAAACTTAGTAATTGAGTGT
Chimpanzee	GACAATTCTGCTAGCAGCCTTGTGCTATTATCTGTTTCTAAACTTAGTAATTGAGTGT
Macaque	GACAATTCTGCTAGCAGCCTTGTGCTATTATCTGTTTCTAAACTTAGTAATTGAGTGT
	↓
Human	GATCTGGAGACTAA - CTCTGAAATAAAAGTGTATTATTTATTTCTCAAAACAA
Chimpanzee	GATCTGGAGACTAAACTCTGAAATAAAAGTGTATTATTTATTTCTCAAAACAA
Macaque	TATCTGGAGACTAAACTCTGAAATAAAAGTGTATTATTTATTTCTCAAAACAA
Human	CAGAACATCGATTAGCAAAATTACTTCTTAAGATATTATTTACATTTCATATTCCCTA
Chimpanzee	CAGAACATCGATTAGCAAAATTACTTCTTAAGATACATTTCACATTCTATATTCCCTA
Macaque	CAGAACATGATTAGCAAAATTACCTCTTAAGATATTATTTGCACTTCTATATTCCCTA
Human	CCCTGAGTTGATGTGAGCAATATGTCACCTTCATAAGCCAGGTATACA - - - TTATG
Chimpanzee	CCCTGAGTTGATGTGAGCGTATGTCACCTTCATAAGCCAGGTATACA - - - TTATG
Macaque	CCCTGAGTTGATGTGAGCAATATGTCACCTTCACAAAGCCAGGTATATACATTACG
Human	GACAGGTAAGTAAAAACATATTATTTATTCTACGTTTGTCCA AAAATTAAATTTC
Chimpanzee	GACAGGTAAGTAAAAACATATTATTTATTCTACGTTTGTCCAAGAATTAAATTTC
Macaque	GACAGGTAAGTAAAAA-CATATTATTTATTCTAGGTTTGTCCAAGAGTTTAAATTTC
Human	AACTGTTGC CGGTGTGTTGGTAA - - TGTAACACAAACTCAGTAC A
Chimpanzee	AACTGTTGC CGGTGTGTTGGTAA - - TGTAACACAAACTCAGTAC A
Macaque	AACTGTTGTGCAATGTGTTGGTAA - - CGTAAACAAATTCAGTAC G

C

Human  
Chimpanzee  
Gorilla  
Orangutan  
Gibbon  
Macaque

TGGAGACTA - ACTCTGAAATA  
TGGAGACTAAACACTCTGAAATA  
TGGAGACTAAACACTCTGAAATA  
TGGAGACTAAACACTCTGAAATA  
TGGAGACTAAACACTCTGAAATA

gn|ti|1676312353\_Gorilla  
gn|ti|874467237\_Pongo  
gn|ti|2094445153\_Nomascus

Knowles D G , McLysaght A Genome Res. 2009;19:1752-1759



# An expanding number of RNA genes

... human gene catalogs now contain more RNA genes than protein-coding genes  
(Salzberg, 2018)

**Table 1** Gene annotations in Gencode, Ensembl, RefSeq, and CHESS

	Gencode <sup>a</sup>	Ensembl <sup>b</sup>	RefSeq <sup>c</sup>	CHESS <sup>d</sup>
Protein-coding genes	19,901	20,376	20,345	21,306
lncRNA genes	15,779	14,720	17,712	18,484
Antisense RNA	5501		28	2694
Miscellaneous RNA	2213	2222	13,899	4347
Pseudogenes	14,723	1740	15,952	
Total transcripts	203,835	203,903	154,484	323,827

**TABLE 3.1** Approximate fractional composition of the human genome

TYPE OF DNA	FRACTION
Coding exons	0.008
Internal introns	0.308
5' Untranslated regions	
Exons	0.045
Introns	0.002
3' Untranslated regions	
Exons	0.006
Introns	0.001
Intergenic DNA	0.683
Conserved noncoding DNA	0.016
Pseudogenes	0.007
Mobile genetic elements	0.446

*Note:* Derived from various references given in the text. Intergenic DNA is all DNA except coding exons and internal introns. The fractions do not sum to one because mobile elements, pseudogenes, and transcription factor binding sites reside in introns, UTRs, and/or intergenic DNA.

**TABLE 3.2** Haploid genome size, number of protein-coding genes, and average number of nucleotides per gene for some well-characterized eukaryotic genomes

	GENOME SIZE (MB)	GENE NUMBER	KILOBASES/GENE		
			TOTAL	CODING	NON-CODING
<b>Unicellular species</b>					
<i>Encephalitozoon cuniculi</i>	2.90	1997	1.45	1.01	0.44
<i>Saccharomyces cerevisiae</i>	12.05	6213	1.94	1.44	0.50
<i>Schizosaccharomyces pombe</i>	13.80	4824	2.86	1.43	1.43
<i>Cyanidioschyzon merolae</i>	16.52	5331	3.10	1.55	1.55
<i>Cryptococcus neoformans</i>	19.05	6572	2.89	1.62	1.27
<i>Plasmodium falciparum</i>	22.85	5268	4.34	2.29	2.05
<i>Entamoeba histolytica</i>	23.75	9938	2.39	1.14	1.25
<i>Leishmania major</i>	33.60	8600	3.91	2.15	1.76
<i>Thalassiosira pseudonana</i>	34.50	11242	3.07	0.99	2.08
<i>Trypanosoma</i> spp.	39.20	10000	3.92	1.96	1.96
<b>Oligocellular species</b>					
<i>Ustilago maydis</i>	19.68	6572	2.99	1.84	1.15
<i>Aspergillus nidulans</i>	30.07	9541	3.15	1.57	1.58
<i>Dictyostelium discoideum</i>	34.00	9000	3.78	2.45	1.33
<i>Neurospora crassa</i>	38.64	10082	3.83	1.44	2.39
<b>Land plants</b>					
<i>Arabidopsis thaliana</i>	125.00	25498	4.90	1.80	3.10
<i>Oryza sativa</i>	466.00	60256	7.73	1.18	6.55
<i>Lotus japonicus</i>	472.00	26000	18.15	1.35	16.80
<b>Animals</b>					
<i>Caenorhabditis elegans</i>	100.26	21200	4.73	1.25	3.48
<i>Drosophila melanogaster</i>	137.00	16000	8.56	1.66	6.90
<i>Ciona intestinalis</i>	156.00	16000	9.75	0.95	8.80
<i>Anopheles gambiae</i>	278.00	13683	20.32	1.64	18.68
<i>Fugu rubripes</i>	365.00	38000	9.61	0.93	8.68
<i>Bombyx mori</i>	428.70	18510	23.16	1.66	21.50
<i>Gallus gallus</i>	1050.00	21500	48.84	1.44	47.40
<i>Mus musculus</i>	2500.00	24000	83.33	1.30	82.03
<i>Homo sapiens</i>	2900.00	24000	96.67	1.33	95.36

Source: Lynch 2006a.

Gének száma

vs.

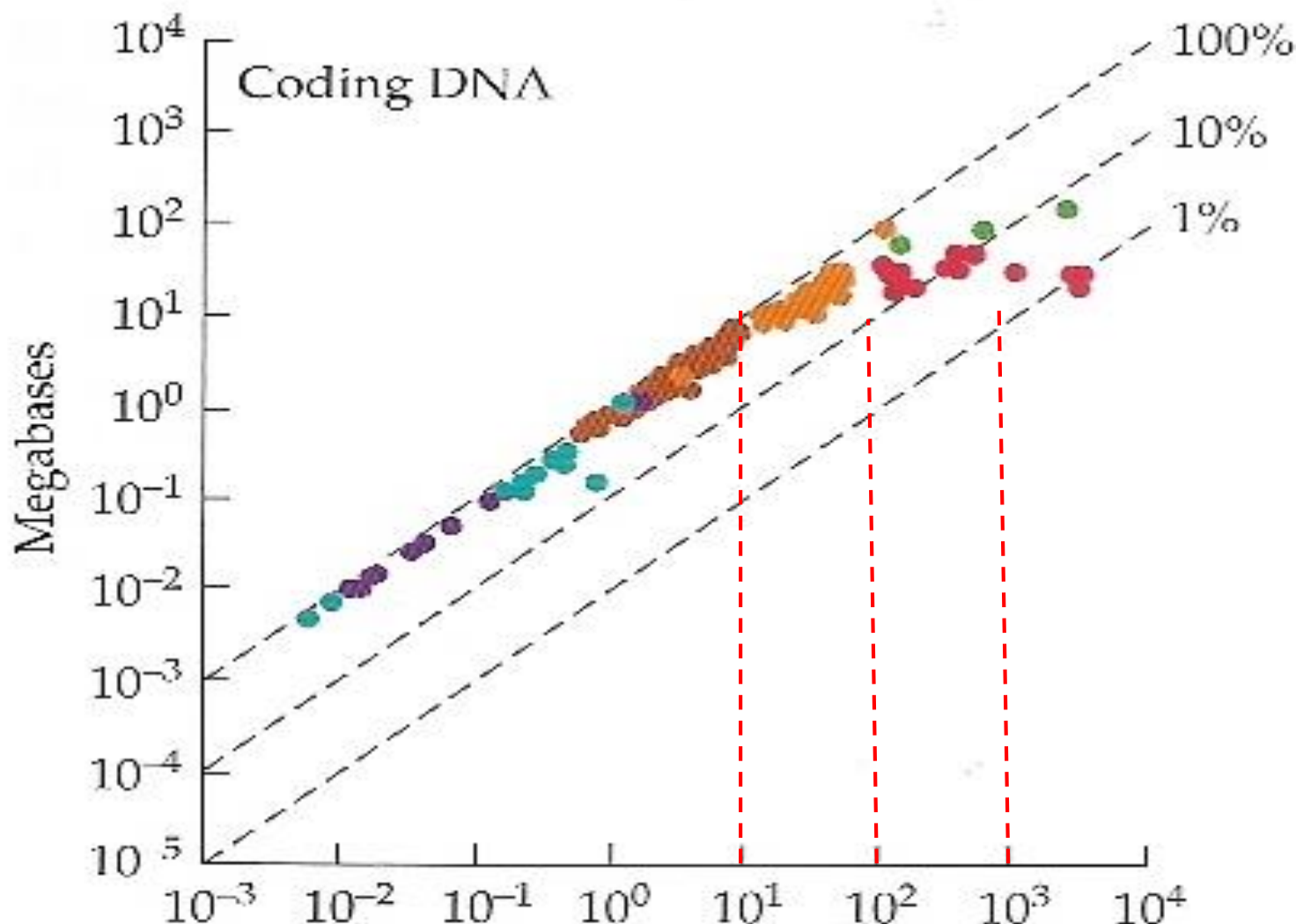
Kódoló szekvenciák hossza

Genom méret

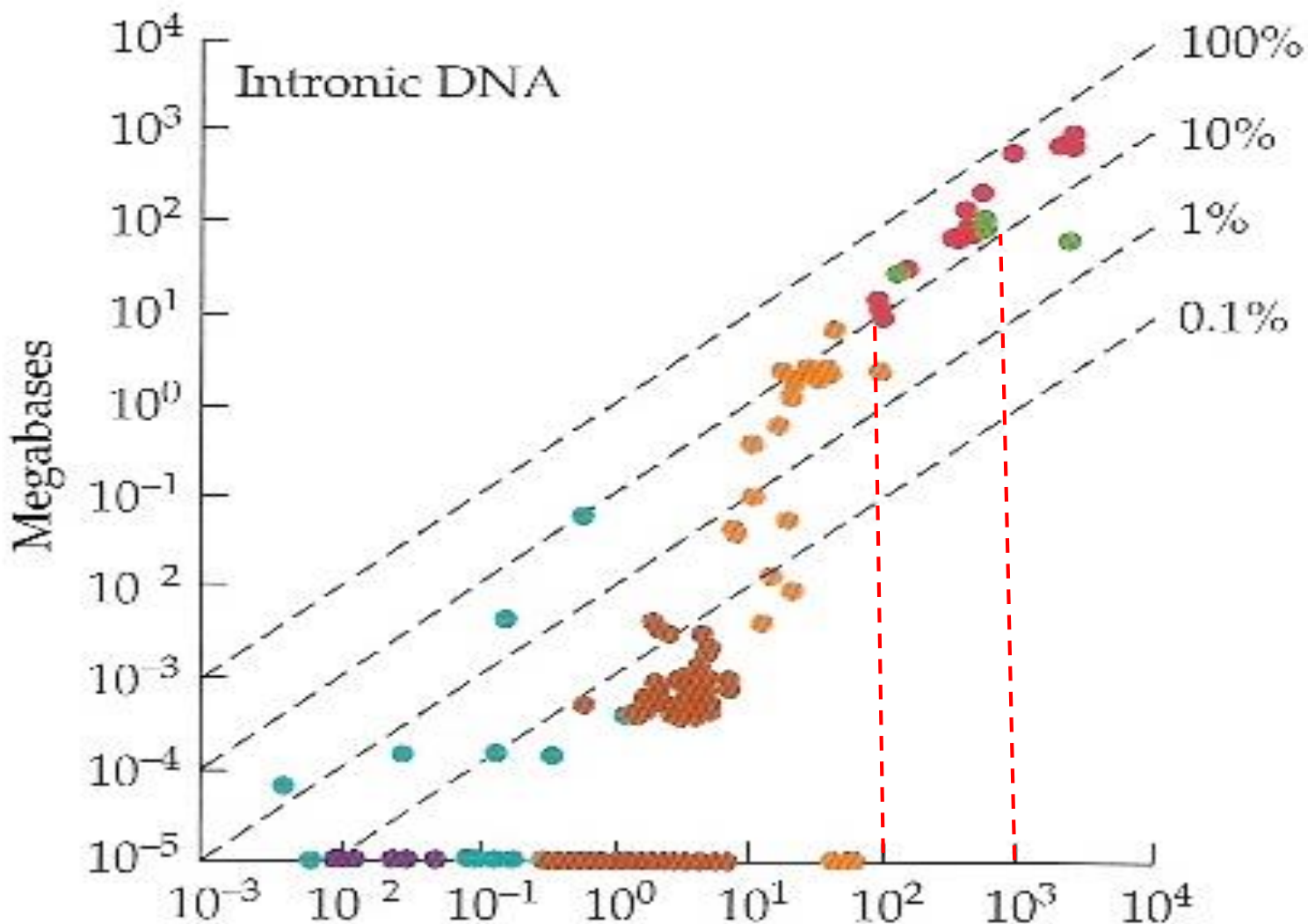
vs.

Nem-kódoló szekvenciák hossza

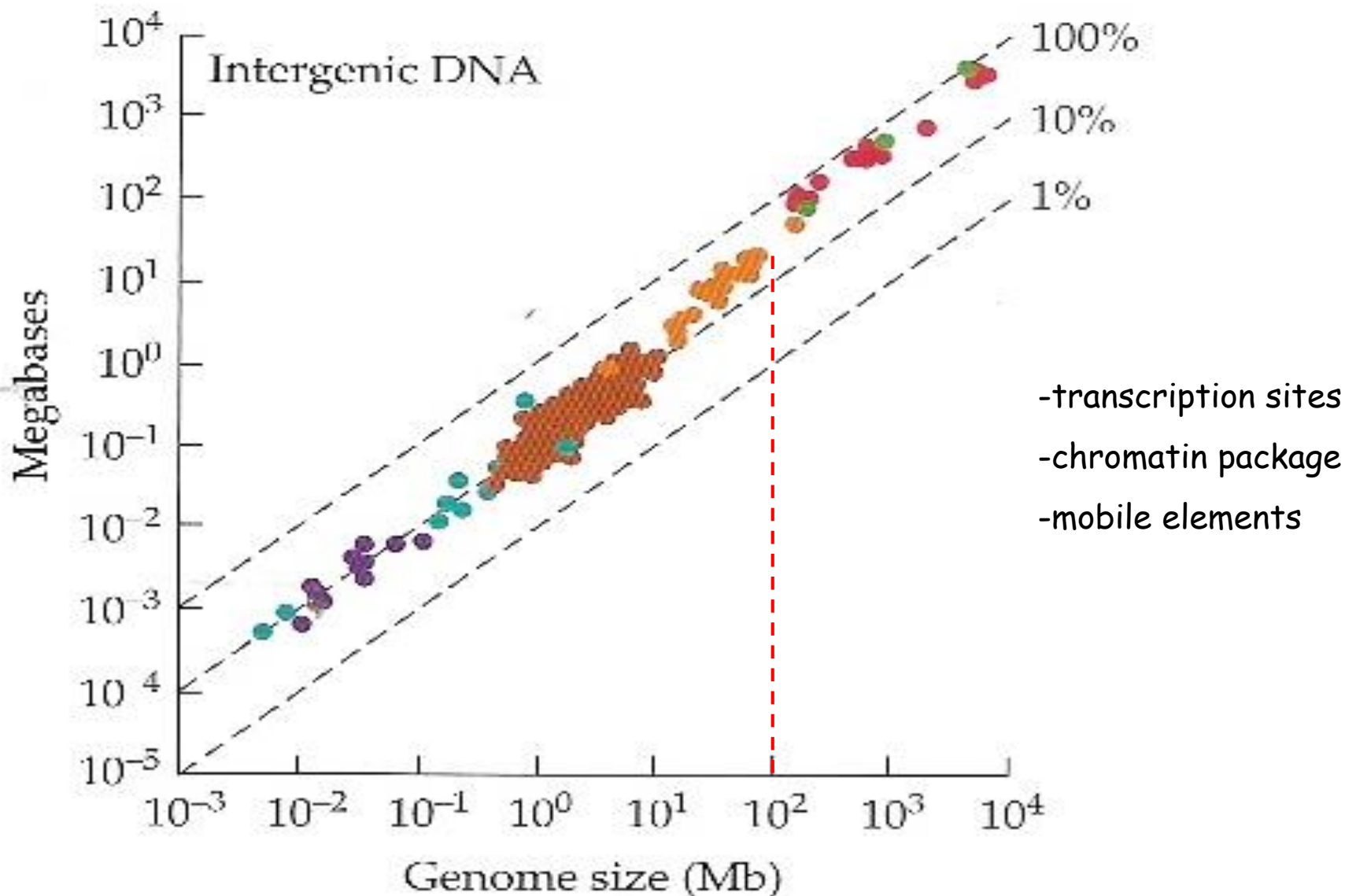
# Genom méret vs. kódoló szekvenciák



# Genom méret vs. intronok



# Genom méret vs. intergénikus DNS



# Genom méret és szervezeti komplexitás

- The C-value Paradox: haploid genome size/cell
- Prokarióta: 350-8000 gén, 0.5 - 9 Mb genom
- Multicelluláris Eukarióta: > 13.000 gén, > 100 Mb genom
- Noncoding DNA expanzió (intronok, mobilis elemek, pseudogének)
- Organizmus mérete vs. sejttípusok száma - pozitív korreláció
- Génszám / genom méret vs. multicellularitás / szervezeti komplexitás

*Van korreláció? Nem a genom mérettől v. génszámtól függ, hanem ahogyan a gének működnek (transzkripciószabályozás, alternatív splicing, stb.)*